

μ_f — viskozita vzduchu [Pa s] $Ar = d_g \rho_{ef} (v_0 - er) / u_t^2$ — Archimedovo kritérium $Re_{mf} = U_{mf} d_{ef} / \mu_f$ — Reynoldsovo kritérium u prahu fluidace $Re_{ms} = U_{ms} d_{ef} / \mu_f$ — Reynoldsovo kritérium u prahu pistování $Re_{st} = U_{st} d_{ef} / \mu_f$ — Reynoldsovo kritérium při pádové rychlosti.**Literatura**

- Geldart D.: Powder Technol. 7, 285 (1973). — 2. Cranfield R. R., Geldart D.: Chem. Eng. Sci. 29, 935 (1974). — 3. Catipovič N. M., Jovanović G. N., Fitzgerald T. J.: AIChE J. 24, 543 (1978).
- Hartman M., Svoboda K., Veselý V., Ziolkowski D.: Chem. listy 81, 1233 (1987). — 5. Hartman M., Svoboda K., Veselý V.: Chem. listy 79, 247 (1985). — 6. Wen C. Y., Yu Y. H.: AIChE J. 12, 610 (1966). — 7. Broadhurst T. E., Becker H. A.: AIChE J. 21, 238 (1975). — 8. Lucas A., Arnallos J., Casal J., Puigjaner L.: Ind. Eng. Chem. Process Des. Dev. 25, 426 (1986). — 9. Turner R., Levenspiel O.: Powder Technol. 47, 83 (1986).

Optimalizace čištění kotle na odpadní teplo při pyrolyze uhlovodíků

Jan Bartoň,

Chemopetrol, k. ú. o. Výzkumný ústav anorganické chemie, Ústí nad Labem,

Vladimír Tichý, Bedřich Beneš,

Chemopetrol, k. p. CHZ ČSSP, Litvínov

621.565.342

655.63

621.565.93/94.004/5.6

Redakce došlo 29.9.1987

V práci je navržen mechanismus vzniku koksu při pyrolyze uhlovodíků v průmyslovém kotli na odpadní teplo. Při pyrolyze benzínu vzniká koks pravděpodobně povrchově katalyzovanou reakcí s vysokou aktivacní energií. Při použití plynového oleje se uplatní kromě této reakce nalepování látek s vysokým bodem varu na povrch. Nalepování má vysokou formálně zápornou aktivacní energii, reakce na povrchu úsdou nízkou kladnou aktivacní energii. V práci je dále navržena cílová nákladová funkce N pro optimalizaci čištění kotle na odpadní teplo. Z rozboru plyne, že kotle z pyrolyzy benzínu státi čistit asi po 100 dnech provozu, kotel z pyrolyzy plynového oleje je nutné čistit asi po 30 dnech provozu.

Úvod

Kotel na odpadní teplo je trubkový chladič, v němž jsou reakční produkty vycházející z pyrolyzárního hadu s teplotou 780–840 °C chlazeny vroucí vodou. Reakční produkty (pyrolyzární plyn) proudí trubkami, zatímco v mezitribukovém prostoru voda voda za tlaku 11 až 12 MPa (320–325 °C). V kotli na odpadní teplo se pyrolyzární plyn ochladi na teplotu 400 až 600 °C.

V předloženém článku je uveden příklad optimalizace provozních podmínek kotle na odpadní teplo, jehož činnost je významně ovlivňována tvorbou koksových úsdů uvnitř trubek. Tyto úsy zhoršují přepust tepla, a tím i energetický výkon kotle na odpadní teplo.

Rozbor problému

Mechanismus tvorby koksu na povrchu trubek kotle je složitý.

V práci¹⁾, analyzující funkci kotle na odpadní teplo, a práci²⁾, zabývající se simulací tvorby koksu v kotli na odpadní teplo, jsou navrženy 4 možné mechanismy vzniku koksu v kotle:

A) Vrstva koksu vzniká nezátnou reakcí látek s povrchem.

B) Pro tvorbu koksu jsou rozhodující mechanické procesy, tj. nalepování látek na povrch trubek.

C1) Tvorba koksu je ovlivněna předřazenými vrtnými reakcemi, pro něž je rozhodující teplota reakční směsi (reakce probíhají v plynné fází).

C2) Tvorba koksu je ovlivněna předřazenými vrtnými reakcemi, pro něž je rozhodující teplota povrchu vrstvy koksu (reakce probíhají na povrchu trubky, resp. úsd).

Jednotlivé mechanismy tvorby koksu mohou vést k běhu koksu v různých místech. Pro mechanismus *A* je typický nářost koksu zejména na vstupu pyrolyzárního plynu do trubek kotle. Pro mechanismus *B* je typické usazování (nalepování) látek zejména na konci trubek v místech, kde má ochlazený pyrolyzární plyn nejnižší teplotu. Mechanismus *C1* se vyznačuje maximem tloušťky vrstvy koksu přibližně uprostřed trubek kotle. Při mechanismu *C2* je typické postupné narůstání vrstvy koksu od vstupu pyrolyzárního plynu směrem ke konci trubek, přičemž se maximální výška vrstvy koksu posouvá postupně s délkou provozu kotle ke střední části trubek.

Při vzniku koksu mechanismem *A* se rychlosť vzniku koksu významně snižuje s poklesem teploty povrchu trubky, takže se zanáší pouze malá část výměnné plochy. Teplota pyrolyzárního plynu za kotle je po délce doby provozu kotle konstantní. Kotel je náchylný k náhlému ucpání trubek na vstupu do kotle.

Při vzniku koksu mechanismy *C1* a *C2* je pokryt vnitřního povrchu trubek rovnomořejší, součinitel postupu tepla je značně snížen úsdami koksu a teplota pyrolyzárního plynu za kotle se zvyšuje pomalu od počátku provozu kotle.

Při mechanismu typu *B* je pokryt vnitřního povrchu trubek koksem nejrovnomořejší s maximální

výškou vrstvy koksu na konci trubek. Protože se zanesením trubek sníží prostup tepla a tím je teplota pyrolyzního plynu na výstupu z trubek vyšší, podmínky pro kondenzaci a nalepování vysokoviscitních látek se zhoršují, tj. proces koksování je s růstem vrstvy koksu zpomalován. Teplota pyrolyzního plynu za kotle růste rychle zvláště po zahájení provozu kotle.

Teoretická část

Vliv vlastností suroviny

V průmyslové praxi se pyrolyzuje obvykle směs uhlíkovodíků, a to zejména benzínem o střední molekulové hmotnosti 80 až 150 g mol⁻¹ a plynovým olejem o střední molekulové hmotnosti nad 300 g mol⁻¹. V nedávné době byly publikovány²⁾ zajímavé poznatky z experimentálního stanovení rychlosti koksování řady kapalných uhlíkovodíkových směsí. V práci²⁾ byly studovány benzíny se střední molekulovou hmotností 80 až 154 g mol⁻¹, plynový olej se střední molekulovou hmotností 218 až 366 g mol⁻¹ a hydrogenovaný plynový olej se střední molekulovou hmotností 317 až 481 g mol⁻¹. Pyrolyza probíhala v laboratorním pyrolyzním peci s parabolickým teplotním profilem s maximem teploty mezi 815 až 949 °C při konstantním tlaku 202 kPa, s hmotnostním poměrem páry k uhlíkovodíku 0,51 ± 0,05. Doba zdržení v peci byla 0,07 až 0,34 s, což odpovídá podmíinkám při konvenčním typu pyrolyzy i tzv. milisekundové technologii. Koks vyloučený na stěnách pyrolyzní laboratorní pece byl zoxidován a kvantitativně stanoven jako CO₂.

Autoři²⁾ definují dva typy kapalných nástrálek, a to silné koksující typy uhlíkovodíků (SKU) a málo koksující typy (MKU) uhlíkovodíků při pyrolyze. Počáteční rychlosť koksování na čistých stěnách pyrolyzní trubky se přitom pro oba typy prakticky rovnají. U silně koksujících uhlíkovodíků se však s dobovou trvalinou pyrolyzy rychlosť koksování snižuje jenom velmi zvolna, zatímco u málo koksujících se již po cca 2 hodinách rychlosť koksování výrazně snižuje.

Elektronovou mikroskopii bylo zjištěno, že koks z pyrolyzy silně koksujících uhlíkovodíků je tvořen vlnky, koks z pyrolyzy málo koksujících je aromatní. Autoři²⁾ odkládají na literaturu, že níž výplývá, že vlnkovité typy koku jsou magnetické a obsahují kovové částice a vlnky mají reakce katalyzovanými nerovnováhou oceli. Aromatní koks je naopak nemagnetický a neobsahuje kovové částice. U silně koksujících uhlíkovodíků zůstávají kovové částice na „živém“ konci rostoucího sloupcového uluhliku, u málo koksujících jsou tyto částice pokryty koksom, a ztrácejí tak svou aktivitu. Předpokládá se, že MKU obsahují „inhibitory“ koksování, které SKU nemají. Témoto látkám jsou pravděpodobně sloučeny s aromatickými kondenzovanými cykly. Bylo potvrzeno³⁾, že přidávek jistého minimálního množství MKU do SKU

Tabulka I

Poměr rychlosť vytváření koksu při pyrolyze benzínu^{a)} k rychlosti vytváření koksu z pyrolyzy plynového oleje^{b)}
R v závislosti na teplotě T

T °C	R
917	4,28
838	1,00
790°C	0,59
700°C	0

a) M = 80,7 g mol⁻¹, 84,8 % parafiny, 8,8 % cykloparsafiny,

6,4 % aromaty, BMCI 6,1

b) M = 218 g mol⁻¹, 49,2 % parafiny, 26,8 % cykloparsafiny, 24 % aromaty, BMCI 34,3

c) extrapolače

způsobí pokles rychlosti koksování SKU blízko k hodnotám pro MKU.

Při zpracování našich výsledků jsme předpokládali, že rychlosť koksování (uvedené v práci²⁾) lze extrapolovat do oblasti nižších teplot, které jsou běžné v kotli na odpadní teplotu. V tabulce I jsou uvedeny odhady poměru rychlosť koksování SKU k MKU. V rozdílu mezi rychlosť koksování benzínu a benzínu (SKU — kolem 15 kJ mol⁻¹) je při teplotě nížší než 790 °C rychlosť koksování benzínu podstatně nižší než u lehkého plynového oleje a při teplotách kolem 700 °C benzín prakticky nekokuje. Naopak rychlosť koksování pro lehký plynový olej je vlivem nízké aktivační energie koksování při teplotách kolem 700 °C pouze asi 2 až 3krát nižší ve srovnání s teplotami mezi 800 až 900 °C.

Model kotle na odpadní teplo

Jednoduchý model vychází z bilance tepla v kotli na odpadní teplotu. Je kombinací rovnic pro prostup tepla a bilance tepla předaného v kotli z pyrolyzního plynu na výrobu vysokotlaké páry:

$$T_k = T_v + (T_p - T_v) \exp(-B) \quad (1)$$

$$B = kS/(mc_p) \quad (2)$$

Součinitel prostupu tepla k i střední měrné teplu pyrolyzního plynu c_p lze stanovit výpočtem ze složení pyrolyzního plynu a výpočtem ze známých hodnot T_k , T_v , T_p , m , S a Q u průmyslového kotla. Energetický výkon kotle lze v průmyslových podmínkách určit z množství vysokotlaké páry 11 až 12 MPa vyrobou v kotli na odpadní teplotu.

Do mezikubického prostoru kotle se nastíkují pře- dehříváta napájecí voda s teplotou 250 až 315 °C. Pro energetický výkon kotle platí

$$Q = m_{\text{SY}}(h_e - h_i) \quad (3)$$

kde h_e je entalpie stopy páry odcházející z kotle a h_i je entalpie napájecí vody. Spotřeba energie na ohřívání odluhu kotle je занedbána.

Součinitel prostupu tepla v kotli na odpadní teplo

Rovnice prostupu tepla v kotli na odpadní teplotu má tvar

$$Q = kS(T_p - T_k)/\ln [(T_p - T_v)/(T_k - T_v)] \quad (4)$$

Po dosazení (3) do (4) obdržíme pro k vztah

$$k = [m_{\text{SY}}(h_e - h_i) \ln [(T_p - T_v)/(T_k - T_v)]]/[(S(T_p - T_k))] \quad (5)$$

Orientační výpočet množství tepla provedeného v kotli sítášením podle⁴⁾ ukázal, že rozhodující množství tepla (asi 90 %) se v kotli plevelo konvekem. Protože k závislosti též na průtoku (rychlosť proudění pyrolyzního plynu, který se v průběhu provozování kotle může významně měnit a ovlivňovat tak hodnotu vypočtenou na střední hodnotu průtoku pyrolyzního plynu ve sledovaném období s využitím zjednodušeného vztahu

$$k' = km'/m \quad (6)$$

(odpovídající střední veličiny jsou označeny apostrofem).

Cilová funkce pro optimalizaci

Zanášením výměnných plach kotle na odpadní teplotu stoupá teplota T_k . Nevyužití tepla pyrolyzního plynu lze vyjádřit násobkem čísla 1/GJ vyráběné vysokotlaké páry v kotli (podle⁴⁾). Pyrolyzníplyn se po průchodu kotlem na odpadní teplotu dle ohladi v teplém dlu ethylénové jednotky⁵⁾. Teplota pyrolyzního plynu nevyužitá v kotli vlivem zanesení trubek kolesem může být částečně využita pro výrobu procesní páry 0,7 MPa. Využitelnost tepla v teplém dlu výjádříme parametrem $P \in (0, 1)$; je-li $P = 0$, potom teplota nevyužitá v kotli

vlivem zanesení koksem se nevyužije na výrobu procesní páry, je-li $P = 1$, potom se teplo nevyužít v kotli v důsledku zanesení ze zela využije na výrobu procesní páry.

Pro dané náklady na novoužití teplo pyrolyzniho plynu v KOT proto platí pro konstantní průtok pyrolyzniho plynu:

$$N_1 = \left[\sum_{i=1}^t (T_{k,i} - T_{k,i}) c_p m \cdot 86400 (C_i - PC_i) \cdot 10^{-6} \right] / t \quad (7)$$

Náklady na čištění kotle ve výši n_2 Kčs pokládáme za nezávislé na zanesení trubek. Předpokládáme dále, že po odstavení pyrolyzni pice v důsledku čištění kotle je nastává z této pice přepraven na pec, která je v záloze, a nevznikají tak ztráty na produkci ethylenu, propylenu a dalších produktů, jaklož i na výrobenou vysokotlakou páru. Pro dané náklady na čištění proto platí

$$N_2 = n_2 / t \quad (8)$$

Vztah (7) přechází po dosuzení z (1) a (2) na vztah

$$N_1 = \left[\sum_{i=1}^t (T_p - T_v) \left[\exp \left(-\frac{k_1 S}{m_p} \right) - \exp \left(-\frac{k_1 S}{m_c} \right) \right] \cdot c_p m \cdot 86400 (C_i - PC_i) \cdot 10^{-6} \right] / t \quad (9)$$

kde k_1 je součinitel prostupu tepla v kotli po vyčištění kotle, k_2 je součinitel prostupu v i -té době provozu kotle. Součet nákladů

$$N = N_1 + N_2 \quad (10)$$

prochází v závislosti na délce provozu kotle minimem. Hodnota t v minimu značí optimální dobu pro čištění kotle od počátku provozu kotle.

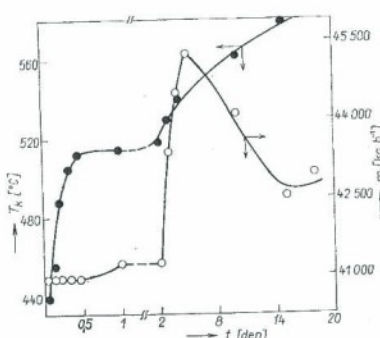
Výsledky a diskuse

Výpočet součinitele prostupu tepla a stanovení mechanismu teorii koksu

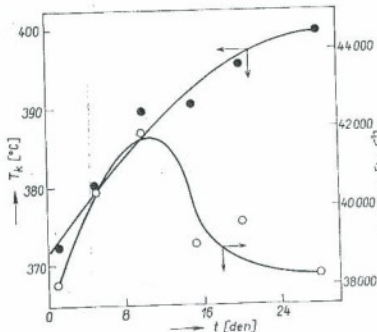
Pyrolyzni pice, na níž byla prováděna měření, jsou paralelní (z hlediska průduvni pyrolyzniho plynu) umístěny tři kotly na odpadní teplo u jedné pece, přičemž každý kotel je zatištěn přibližně stejným průtoku pyrolyzniho plynu. Výpočet součinitele prostupu tepla je uvažován pro střední (průměrné) teploty

pyrolyzniho plynu před všemi kotly a za nimi, celkový průtok uhlíkovodíků a procesní páry do pyrolyzni pice a celkovou výrobu vysokotlaké páry v kotli. Na obrázku 1 je znázorněna typická závislost výstupní teploty z kotle při pyrolyze benzínu. Teplota pyrolyzniho plynu vycházejicího z pyrolyzni pice (na vstupu do kotle) se pohybovala v rozmezí 820 až 827 °C, průtok pyrolyzniho plynu přitom kolisal v rozmezí 38 000 až 42 000 kg h⁻¹. Na obrázku 2 je obdobná závislost při pyrolyze plynového oleje. Teplota pyrolyzniho plynu z pyrolyzy na vstupu do kotle byla 785 až 790 °C.

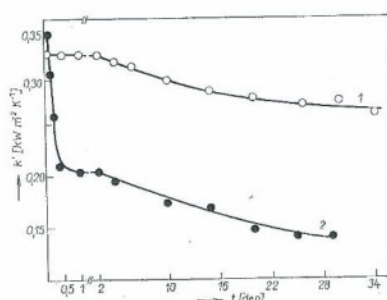
Na počátku časové osy byly výměnné plochy kotlí čisté. Zásadní rozdíl mezi obrázkem 1 a 2 je tom, že při pyrolyze plynového oleje se kotel zanesne úsadně významně snižujícími prostupem tepla již během prvních 24 hodin provozu kotle. Teplota pyrolyzniho plynu za kotlem přitom stoupne během 24 hodin o 80 °C. V dalších dnech se zvyšování teploty T_k zmomalí a ustálí se na asi 5 K za den, při teplotách $T_k \approx 600$ °C klesne rychlosť růstu T_k na asi 1 K za den.



Obr. 2. Závislost výstupní teploty z kotle T_k a hmotnostního průtoku pyrolyzniho plynu v kotli na čas t pro plynový olej



Obr. 1. Závislost výstupní teploty z kotle T_k a hmotnostního průtoku pyrolyzniho plynu v kotli na čas t pro benzín



Obr. 3. Závislost součinitele prostupu tepla k' pro benzín ($m' = 40 250 \text{ kg h}^{-1}$ 1) a pro plynový olej ($m' = 42 960 \text{ kg h}^{-1}$ 2)

Při pyrolyze benzínu se kotel zanáší podstatně méně a nárůst teploty T_k probíhá rychlosti asi 1 K za den. Rozdíly v chování dokumentují i změny koeficientu prostupu tepla vynesené na obrázku 3. Z obrázku je patrný prudký pokles součinitele prostupu tepla v kotli za pece pyrolyzující plynový olej; k' poklesne během prvních 24 hodin asi o 42 %, k' v případě pyrolyzy benzínu klesá asi o 0,002 K^{-1} za den, tj. přibližně o 0,6 %.

Lineární regresi¹⁰) byly získány následující vztahy popisující závislost koeficientu prostupu tepla na čase.

Po plynový olej v dobu 0,04 až 0,4 dne:

$$k' = 0,3884 - 0,8151t + 1,2164t^2 - 0,5657t^3 \quad (11) \\ r = 0,997, t = (0,04 - 0,4) \text{ dne}, m' = 42\,960 \text{ kg h}^{-1}$$

$$k' = 0,2717 - 1,9851 \cdot 10^{-2}t + 1,1015 \cdot 10^{-3}t^2 - \\ - 2,025 \cdot 10^{-6}t^3 \quad (12) \\ r = 0,913, t = (1-34) \text{ dnů}, m' = 42\,960 \text{ kg h}^{-1}$$

V případě pyrolyzy benzínu platí:

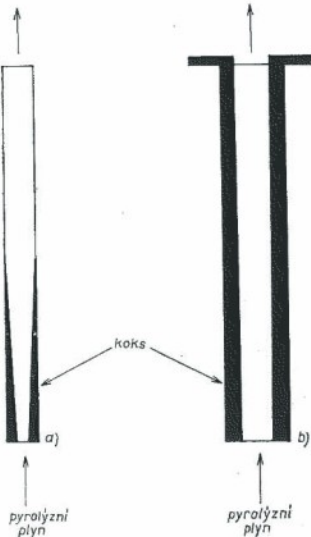
$$k' = 0,3300 - 4,0388 \cdot 10^{-2}t + 7,6693 \cdot 10^{-5}t^2 - \\ - 4,6021 \cdot 10^{-7}t^3 \quad (13) \\ r = 0,9899, t = (1-37) \text{ dnů}, m' = 40\,250 \text{ kg h}^{-1}.$$

Na obrázku 4 je schematicky znázorněno rozložení vrstvy koksu podél trubek. V případě pyrolyzy benzínu je kotel mřímkován až do 1/3 délky trubky (stav asi po 200 dnech provozu). U kotlů za pecemi pyrolyzujícími plynový olej je vrstva koksu prakticky rovnoměrně rozložena podél celé trubky a tisáky koksu

jsou i na horní trubkovnici (stav po 40–60 dnech provozu). Distribuci koksu v trubkách při pyrolyze benzínu lze pravděpodobně vysvětlit mechanismem C2, tj. reakci katalyzovanou povrchem trubky, reakci s vysokou aktivacní energií. Zanášení kotlů na odpadní teplo při pyrolyze plynového oleje je pravděpodobně kombinací dvou mechanismů. Na počátku provozu kotle (v prvních hodinách provozu) se pravděpodobně významně uplatňuje mechanismus B. V pyrolyzním plynu jsou přítomny látky s rosným bodem pod teplotou 500 °C. Tyto látky vykondují zejména na výstupu z trubkovnice kotle, kde je nejnižší teplota. Protože osa trubek ho svírá a pyrolyzující plyn proudí směrem vzhůru, kondenzát pomalu stéká proti proudu pyrolyzního plynu. Výsledkem toho je pozorované zanesení trubek, které se liší od rozložení vrstvy, které lze očekávat při tomto mechanismu, tj. tvorby vrstvy koksu především na konci trubek. Kromě toho v trubce kotle na odpadní teplo vzniká při pyrolyze plynového oleje koks mechanismem C2 s nízkou aktivacní energií. I tento proces ovlivňuje výšku vrstvy koksu v trubce, která je nejvyšší na počátku trubky (z hlediska proudění pyrolyzního plynu). V tabulce II jsou uvedeny rychlosť poklesu součinitele prostupu tepla k' pro kotel na odpadní teplo při pyrolyze plynového oleje. Závislost $ln r_k$ na $1/(T_k + 273)$ je na obrázku 5. Zdánlivá aktivacní energie procesu zanášení kotle na odpadní teplo byla určena asi -200 kJ mol^{-1} , což odpovídá hodnotě aktivacní energie tohoto procesu předpokládané v práci⁹).

Stanovení optimální doby čištění kotle na odpadní teplo

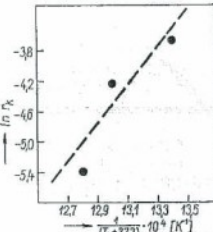
Určení optimální doby čištění kotle na odpadní teplo vychází z nákladové funkce (10). Za k_1 ve vztahu (9) se dosazují funkční závislosti (11), (12) nebo (13)



Obr. 4. Schematické znázornění distribuce koksu podél trubek kotle na odpadní teplo pro benzin (a) a pro plynový olej (b)

Tabulka II
Rychlosť poklesu součinitele prostupu tepla r_k v závislosti na teplotě pyrolyzního plynu na výstupu z kotle T_k

$r_k [\text{kW m}^{-2} \text{K}^{-1} \text{h}^{-1}]$	$ln r_k$	$T_k [^\circ\text{C}]$	$1/(T_k + 273) [\text{K}^{-1}]$
0,0235	-3,75	471	0,00134
0,0140	-4,26	496	0,00130
0,0045	-5,41	508	0,001275



Obr. 5. Závislost logaritmu rychlosťi zmény součinitele prostupu tepla $ln r_k$ na převrácené hodnotě absolutní teploty pyrolyzního plynu na výstupu z kotle $1/(T_k + 273)$

Tabulka III

Hodnoty parametrů pro optimalizaci doby čistění kotle

surovina pro pyrolyzu	plynový olej	benzin
T_p [°C]	790	827
T_v [°C]	321	321
S [m^{-2}]	132	231
m [kg kg^{-1}]	42 960	40 250
c_p [$\text{kJ kg}^{-1} \text{K}^{-1}$]	3,0	3,0
C_1 [Kčs GJ $^{-1}$]	50,0	60,0
C_2 [Kčs GJ $^{-1}$]	15,0	15,0
n_2 [Kčs]	150 000	150 000
P	0,5	0,5

29 dní. V této době již dosahuje teplota za kotlem hodnot kolem 600 °C, což jsou maximálně přípustné teploty. Prodlužování cyklu kotle není možné.

Z hlediska polohy nákladového minima na oso N pozorujeme, že v případě pyrolyzy benzínu činí hodnota $N_{\min} = 4800$ Kčs za den, v případě pyrolyzy plynového oleje $N_{\min} = 23 000$ Kčs za den. Z tohoto porovnání vyplývá podstatně horší využívání tepla pyrolyzujícího plynu z pyrolyzy plynového oleje.

Závěr

Předložená práce se zabývala mechanismem vytváření koksových úsad v kotlech na odpadní teplo při pyrolyze benzínu a plynového oleje a stanovením optimální doby čistění kotlí. Bylo zjištěno, že koks vzniká v kotlech na odpadní teplo při pyrolyze benzínu pravděpodobně reakcí s vysokou aktivací energií katalyzovanou povrchem trubek. Proto se koks převážně tvoří na vstupu pyrolyzujícího plynu do kotle. Při pyrolyze plynového oleje se koks tvoří pravděpodobně kombinací procesu nalepování látek s povrchově katalyzovanou reakcí s nízkou aktivací energií.

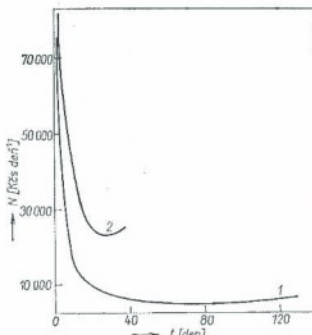
Optimální doba čistění kotle při pyrolyze benzínu leží v oblasti 100 dní od počátku provozu kotla s čistými plochami, při pyrolyze plynového oleje je nutné kotel čistit asi po 30 dnech provozu.

Seznam symbolů

C_1	— cena vysokotlaké páry [Kčs GJ $^{-1}$]
C_2	— cena procesní páry [Kčs GJ $^{-1}$]
c_p	— střední měrné teplo [$\text{kJ kg}^{-1} \text{K}^{-1}$]
h_e	— měrný entalpie systému vysokotlaké páry [kJ kg^{-1}]
h_l	— měrný entalpic napětí vody [kJ kg^{-1}]
k	— součinitel prostupu tepla [$\text{kW m}^{-2} \text{K}^{-1}$]
KOT	— kotel na odpadní teplo
M	— střední molekulová hmotnost [g mol^{-1}]
m	— průtok pyrolyzujícího plynu [kg s^{-1}]
m_{SY}	— výrobková vysokotlaká páry v kotli [kg s^{-1}]
MUKU	— malý koksovající uhlovodík při pyrolyze
P	— parametr vztahu (7), (9)
Q	— výkon kotle na odpadní teplo [kW]
r	— korelační koeficient
r_p	— rychlosť poškození součinitele prostupu tepla [$\text{kW m}^{-2} \cdot \text{K}^{-1} \text{h}^{-1}$]
S	— výškemálo plocha [m^2]
SKU	— silný koksovající uhlovodík při pyrolyze
t	— čas [den]
T_k	— teplota pyrolyzujícího plynu za kotlem [°C]
T_p	— teplota pyrolyzujícího plynu na vstupu do kotle [°C]
T_v	— teplota varu vody v mezičlubkovém prostoru kotle [°C]

Literatura

- Horák J., Beránek P.: Chem. prům. 33, 113 (1983). —
- Horák J., Beránek P.: Chem. prům. 33, 176 (1983). —
- Leštín H. P., Newmann D. S.: Ind. Eng. Chem. Res. 26, 1003 (1987). —
- Bartoš J., Boštálek M., Janura J.: Chem. prům. 34, 230 (1984). —
- Bartoš J., Dvořák L.: Chem. prům. 37, 364 (1987). —
- WANG 2300 MVF, knižnina standardních programů. —
- Mika V.: Základy chemického inženýrství, SNTL/ALFA, str. 381, Praha 1977. —



Obr. 6. Závislost nákladové funkce N na čase t pro benzin (1) a plynový olej (2)

podle typu zpracovávané suroviny na pyrolyzu a doby provozu kotle na odpadní teplo t . V tabulce III jsou uvedeny hodnoty parametrů pro optimalizaci. Z hodnoty parametru $P = 0,5$ vyplývá, že uvažujeme 50%ní využití tepla pyrolyzujícího plynu oproti jeho koteli na odpadní teplo s vyšší teplotou než $T_{k,1}$ v termínu dílu výroby. Náleží na zmazání zbylých 50 % tepla obsaženého v pyrolyzujícím plynu vlivem zanesení teploměnných ploch pokládkám za zanedbatelně malé ve srovnání s cenou 1 GJ vysokotlaké páry. Rozboru provozních záznamů bylo zjištěno, že předpoklad $P = 0,5$ odpovídá reálným provozním podmínkám.

Na obrázku 6 je uveden průběh nákladové funkce N na čase pro pyrolyzu benzínu (1) a plynového oleje (2). Při pyrolyze benzínu byla předpokládána možnost extrapolace vztahu (13) až do 100 dní. Čistění kotle při pyrolyze benzínu je optimální po 93 dnech. Minimum je ploché, takže překročení doby čistění kotle nad 100 dní neznamená velké ekonomické ztráty. V případě pyrolyzy plynového oleje činí optimum